

山口大学 正員 田村洋一
九州大学 正員 横木武

1.はじめに 車頭時間分布に関する従来の研究は多様であるが、その代表的なものは、交通流が自由車と追従車どちらか二者のと仮定し、それそれに基づいて分布を適用した複合分布モデルによりこれを表現しようとするものである。しかし、これらの研究に共通する根本的な問題は、交通流における自由車、追従車構成 単に複合分布モデル仮定の理念として用いられていないに過ぎず、具体的な諸分布のパラメータが観測データより統計的に推定されることがある。このため得られたモデルは、データの良好な表現にはほどこしそとも、交通流の内部構造の把握を直接寄与するものではなく、諸交通状態に対する汎用性、交通流率勤の内部構造解明といつてあるハキニアリ、疑問が残る。以上の問題点をふまえ、本研究においては、交通流が自由車、追従車により構成されることを前提として、自由車、追従車の分離方法について提案を行ない、それにもとづいて車頭時間分布モデルの構築をはかるものである。

2. 自由車率 $\mu_f(t)$ の定義と説明

まず2台の車を注目し、先行車、後続車の速度 x, y の差 $z = x - y$ を相対速度と定義すると、相対速度の平均 μ_z 、分散 σ_z^2 は、先行車、追従車の速度の平均 μ_x, μ_y 、分散 σ_x^2, σ_y^2 および x, y の共分散 $Cov(x, y)$ により次式で表わされる。

$$\mu_z = \mu_x - \mu_y \quad (1)$$

$$\sigma_z^2 = \sigma_x^2 - 2Cov(x, y) + \sigma_y^2 \quad (2)$$

ここで、 $Cov(x, y)$ のかわりに相関係数 S を用いると、

$$\sigma_z^2 = \sigma_x^2 - 2S\sigma_x\sigma_y + \sigma_y^2 \quad (3)$$

と表わされる。 $\sigma_x, \sigma_y, Cov(x, y), Cov(x, y)$ について観測データより得られた結果を、図1, 2 に示す。これらの図より、非渋滞時の共分散が車頭時間 t が大きくなるにつれて減少する傾向を示すのみで、他は全く一定であることがわかる。

したがって、渋滞時における σ_z^2 は一定であり、非渋滞時におけるのみ σ_z^2 が変化することがわかる。これらのことから、非渋滞時における、 σ_z^2 は t の関数として表現でき、 $\sigma_z^2 = \sigma_y^2 = \sigma^2$ とし、とくに次式で表わせよう。

$$\sigma_z^2 = 2\{\sigma^2 - Cov_{xy}(t)\} \quad (4)$$

である。

$$\sigma_z^2 = \sigma^2\{1 - S(t)\} \quad (5)$$

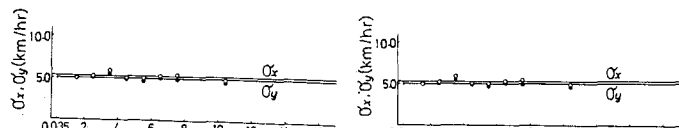


図1. 先行車・後続車の速度の標準偏差と車頭時間との関係

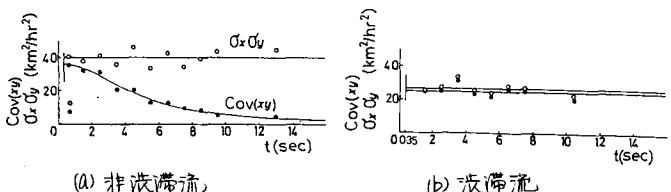


図2. Cov_{xy} Cov_{xy} と車頭時間との関係

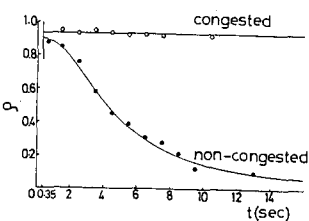


図3. S と車頭時間の関係

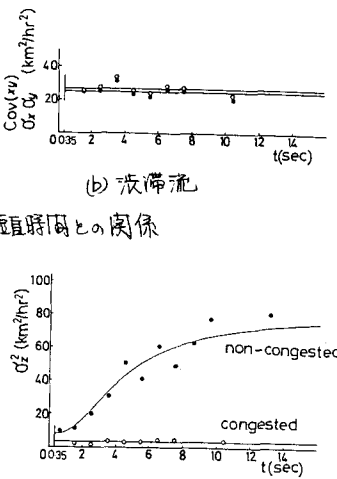


図4. σ_z^2 と車頭時間の関係

してがって、渋滞時における σ_z^2 は一定であり、非渋滞時におけるのみ σ_z^2 が変化することがわかる。これらのことから、非渋滞時における、 σ_z^2 は t の関数として表現でき、 $\sigma_z^2 = \sigma_y^2 = \sigma^2$ とし、とくに次式で表わせよう。

$$Cov_{xy}(t) = \frac{B}{A(t-t_0)^2 + 1} \quad (6)$$

$$= \infty \quad A = 0.055, \quad B = 36.0, \quad t_0 = 0.35 \text{ 秒 である}.$$

t は後続車の車頭時間、 t_0 は最小車頭時間である。

$$Cov(x, y) \text{ は } t = t_0 \text{ で最大}, \quad t = \infty \text{ で } 0 \text{ となる}$$

相対速度分布の密度関数を $\phi(z)$, 全車自由走行時, 全車追従走行時の密度関数をそれぞれ $\phi_f(z)$, $\phi_g(z)$ とするとき, 式(7)が成立すると仮定すれば, $\phi(z)$, $\phi_f(z)$, $\phi_g(z)$ の分散 σ_z^2 , σ_{zf}^2 , σ_{zg}^2 に関する式(8)が成立する。

$$\phi(z) = \alpha \phi_f(z) + (1-\alpha) \phi_g(z) \quad (7) \quad \sigma_z^2 = \alpha \sigma_{zf}^2 + (1-\alpha) \sigma_{zg}^2 \quad (8)$$

式(8)を α について解くと式(9)が得られるが, ここで σ_z^2 , σ_{zf}^2 は定数であり, σ_{zg}^2 は t の関数であることがから, 結局 α は t の関数, すなわち $\alpha = \alpha(t)$ となり, また $\alpha(t)$ は, 車頭時間分布走行する車における自由車の割合を表すものと考えられ, この意味で $\alpha(t)$ を自由車率と呼ぶことにする。式(4)と式(6)を代入して, 結局, 式(10)を得る。

$$\alpha = \frac{\sigma_z^2 - \sigma_{zg}^2}{\sigma_{zf}^2 - \sigma_{zg}^2} \quad (9)$$

$$\alpha(t) = \frac{A(t-t_0)^2}{A(t-t_0)^2 + 1} \quad (10)$$

3. 車頭時間分布モデルと自由車割合 P_f 式(10)で求められた $\alpha(t)$ を用いて, 車頭時間分布は自由車に対するものと, 追従車に対するものとで分離可能である。そこで, 車頭時間分布 $f(t)$ は, 自由車, 追従車の車頭時間分布 $f(t)$, $g(t)$, 全交通流中に占める自由車の割合 P_f により, 式(11)の複合分布モデルとして表すことができる。また $\alpha(t)$ の定義より, $g(t)$ は, 式(12)(13)により表すことができる。 P_f , $1-P_f$ は, 式(14)(15)で求められる。

$$h(t) = P_f f(t) + (1-P_f) g(t) \quad (11) \quad h(t) = \frac{P_f}{\alpha(t)} f(t) \quad (12) \quad h(t) = \frac{1-P_f}{1-\alpha(t)} g(t) \quad (13)$$

$$P_f = 1 / \int_{t_0}^{\infty} \frac{1}{\alpha(t)} f(t) dt \quad (14)$$

$$1-P_f = 1 / \int_{t_0}^{\infty} \frac{1}{1-\alpha(t)} g(t) dt \quad (15)$$

$\alpha(t)$ を用い, 自由車, 追従車を分離して結果得られた非渋滞時における自由車, 追従車に対する平均, 分散 (\bar{t}_f , \bar{t}_g , V_f , V_g) を図6に示す。渋滞時は, 全車追従車と見なすを得る。この場合の平均 \bar{t}_c , 分散 V_c を図7に示す。これらのプロットに対する曲線回帰を行なって結果, 式(16)(17)(18)を得る。

$$\begin{cases} \bar{t}_f = 2.9 Q^{-0.3517} \\ V_f = 5.6 \cdot 10^5 Q^{-1.2780} \end{cases} \quad (16) \quad \begin{cases} \bar{t}_g = 12.4 Q^{-0.2446} \\ V_g = 1.72 \cdot 10^4 Q^{-1.3003} \end{cases} \quad (17) \quad \begin{cases} \bar{t}_c = 3600/Q \\ V_c = 8.13 \cdot 10^5 Q^{-1.8097} \end{cases} \quad (18)$$

回帰曲線はデータと良好なる一致を示していい。式(10)より, $1-P_f$ は $g(t)$ の2次モーメントを求めるこことより計算される。計算結果ヒデータプロットの実験と図8に示すが, 両者はよく一致していい。以上のことから, 車頭時間分布のパラメータは, 全て交通量の関数として表現し得ることかわかった。

4. おわりに 本研究で得られた事項を要約すると (1) 自由車, 追従車は相対速度分布の分散を指標として導かれる自由車率 (α) によって分離可能であり, 車頭時間分布モデルは自由車, 追従車という交通流の内部構造を明らかにすることができる。 (2) モデルのパラメータは全て交通量の関数として表現可能である。その結果, 車頭時間分布が一元的に表現できる。 (3) 従来の複合分布モデルのみならず, 自由車, 追従車のいずれか一方のデータ用いて車頭時間分布を表現するモデルが誘導された。具体的なモデルと観測データとの比較については, 講演当日に報告する。

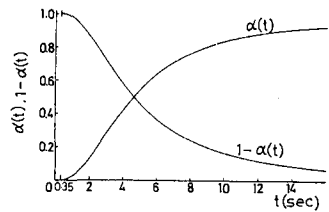
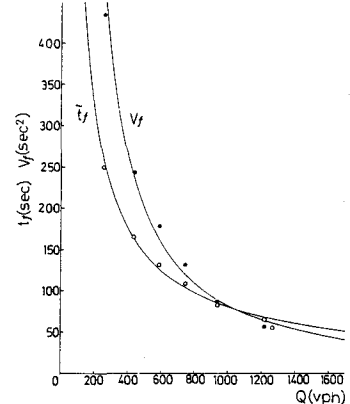
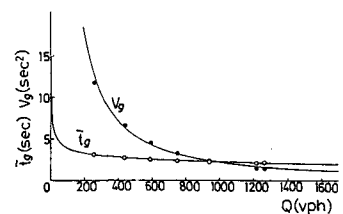


図5. $\alpha(t) \times 1-\alpha(t)$



(a) 自由車



(b) 追従車

図6. 非渋滞流の車頭時間分布の平均分散と交通量との関係

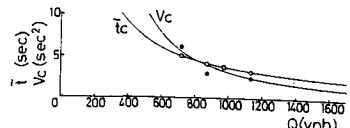


図7. 渋滞流の車頭時間分布の平均分散と交通量との関係

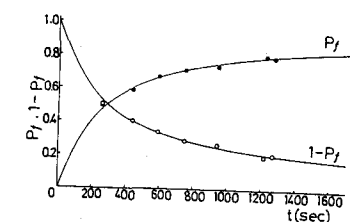


図8. P_f , $1-P_f$ と交通量との関係